

# ナノセルロース作製とイオン液体を用いた構造解析手法の確立

評価技術課 岩坪 聰 丹保 浩行

## 1. はじめに

ナノセルロースは、次世代のコンポジット材料として着目されている。ナノセルロースの作製には、化学的解纖方法と機械的解纖方法があり、酸加水分解法、粉碎機をベースとしたグラインダー処理、高速な流れを利用した高圧ホモジナイザー、高圧ジェットミルなど様々な方法がある。しかし、それらのナノファイバーの径などは、電子顕微鏡にて評価されているが、全体としてのマクロな形態評価や、溶液中での構造は明確になっていなかった。ナノセルロースを複合材料に応用するには、複合化したときの分散状態を推測するためにも各種作製方法によるナノセルロースの構造変化を明確にする必要がある。

まず、セルロース解纖状態の観察手法として、光学顕微鏡、電子顕微鏡が挙げられる。光学顕微鏡は、濡れた状態でも観察できるが、その倍率には限界がある。また、透明なファイバーでは観察事態が不可能である。

一方、電子顕微鏡観察では、試料を乾燥して評価するため、溶液中で存在している状態とは異なる形態・構造を評価することになる。また、電子顕微鏡では、高倍率で観察する場合、解纖初期過程ではセルロース粉体は凹凸で径が大きく、チャージアップの問題が出てくる。低真空での観察でこの問題を回避できるが、高い倍率での観察は上手くいかないことが多い。近年、蒸気圧が高いイオン液体を用いたSEM観察が可能になってきた。そこで本研究ではこの手法を用いて、解纖処理におけるセルロースの構造を観察し、高圧ジェットミル処理による解纖プロセスを明らかにするとともに、統計的な構造評価手法を確立することを目的とした。

## 2. ナノセルロースの作製

結晶性セルロース粉体を含んだ溶液を作製し、スギノマシン社スターべストHJP-25001にて、高圧ジェットミル処理を行った。使用したノズル径は0.1mmである。噴射圧は200 MPaとし、その処理回数 $N_p$ を20回繰り返した。処理途中で溶液を抜き出し、 $N_p$ が1, 2, 5, 10, 20の試料とした。その試料を乾燥させ、イオン液体処理しSEM観察を行った。イオン液体は日立ハイテクノロジーズ社のHILEM IL1000を使用した。

図1に、 $N_p$ が1で、金をコートしたものと、イオン液体処理した試料のSEM像を示す。(a)の金コートしたものは、低倍率においても部分的にチャージアップしていた。(b)のイオン液体処理を行ったものは、高倍率にてもチャージアップせずに観察できたが、粒子表面にイオン液体が多く残留すると、その液面が現れ、細かな凹凸を見ることが難しく、適量での処理が必要であった。

図2に、この処理を行って $N_p$ を20まで処理回数を変化させた場合のSEM像を示す。最初(a)は数μmから50μmの大きさの粉体であるが、 $N_p$ が1の処理(b)によって粒子が碎かれ、それらが部分的に付いた状態で、

全体として大きな粒子なっていた。それらは一様ではなく、大きく引き裂かれた部分と、あまり変化のない部分の両方が観察された。特に数十μmの小さな粒子の変化が少なかった。 $N_p$ が2になると形が歪な粒子は少なくなり、板状の粒子が増え、それらが数20~50μm程度の均一な大きくなることが分かった。

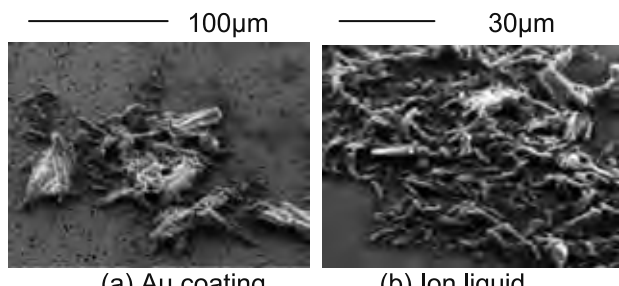


Fig.1 SEM images of dry cellulose particles milled by high pressure jet process for  $N_p$  of 1.

さらに回数を増やし $N_p$ を10にすると、20~50μmの大きな粒子は、観察されなくなり、6μm以下の小さな塊が多く観察された。これは、未解纖のセルロースの塊と思われる。この装置では、さらに回数を増加させてもこの傾向は変わらなかった。

次に解纖したファイバーが凝集しないように真空凍結乾燥にて試料を乾燥させて、SEM観察を行った。この場合は、径が100nm以下のファイバーからなる構造がよく観察された。

図4に、 $N_p$ が20の溶液のセルロースを染色した後のOM像を示す。(a)と(b)の倍率は、それぞれ320と700倍である。数十μmの小さな粒子から最大でも100μm程度の球状粒子が観察される。この部分が、溶液中のセルロース粒子の外径であると考えられる。

以上をまとめると、高圧ジェットミルによる解纖は、最初に原料粒子を破壊し、その後粒子の外側からファイバーが解纖されていく過程を経ることが分かった。最終的には、粉碎できない未解纖の塊とファイバーの状態になっていた。

溶液中のこのような形態変化から、解纖セルロースのマクロ的評価ができないかを検討した。粒度分布には、レーザー回折法による測定と、自己相関関数を基にした動的光散乱法による測定の2種類がある。これらの測定原理から、評価方法を検討した。測定は、マルバーン社MS3000とゼータサイザー ナノZSを用いた。

レーザー回折法(LD: Laser diffraction analysis)は、数μm以下の粒子はMie散乱、それ以上はFraunhofer近似を使用している。Mie散乱では屈折率の影響を受けるが、Fraunhofer近似はその影響を受けず、表層で散乱した光の情報を基に計算を行っている。そのため、ポーラスな粒子の場合、その外径が計測されることになる。つまり、ファイバーのダマになっている解纖セルロースの外径を評価していることになる。

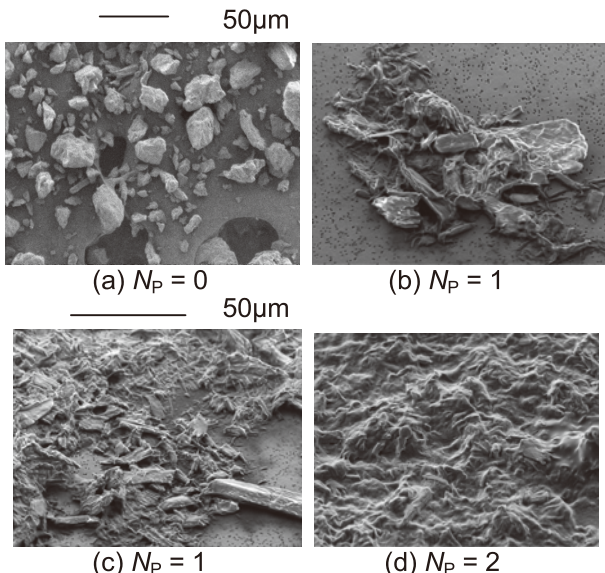


Fig.2 SEM images of cellulose particles for  $N_p$  of 0, 1 and 2.

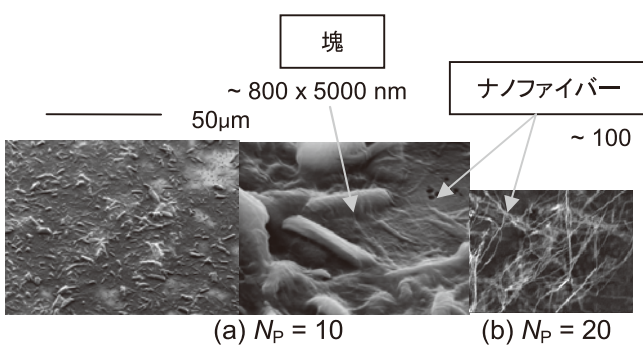


Fig.3 SEM images of particles and fibers for  $N_p$  of 10 and 20.

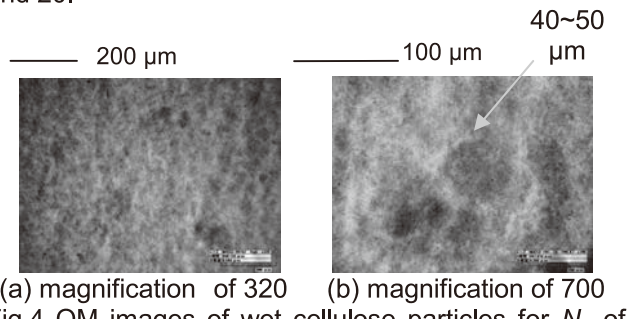


Fig.4 OM images of wet cellulose particles for  $N_p$  of 20.

一方、動的光散乱法(DLS)は、ブラウン運動している粒子のレーザー散乱光の揺らぎを、自己相関を用いて評価している。この方式では、動きの速い nm オーダーの粒子径を計測していることになり、数  $\mu\text{m}$  以上の大きな粒子の揺らぎは遅くカットされる傾向がある。そのため、解纖されたナノファイバー径、あるいは、膨潤した表層のファイバーの径を計測していることになる。

図5に、計測された粒度分布を示す。すべて体積基準で記載してある。粒子外径を示す LD では、 $N_p$  が 1 から 2 では、粉碎されるが粒子が付いたままなので、径が増加し、それ以降は約 40  $\mu\text{m}$  を中心にシャープになった。そして、 $N_p$  が増加するにつながって、セルロースの塊と思われる 10  $\mu\text{m}$  以下の粒子が減少した。一方 DLS では、初期の  $N_p$  が 0 は、100 nm の径のものはほとんど無いが、 $N_p$  が大きくなるにつながって 100 nm 以下の粒子が増加し、 $N_p$  が 20 で 25 nm の粒子が存在するようになった。これは解纖されたファイバー径を示し、セルロース微小纖維の径に近い値である。

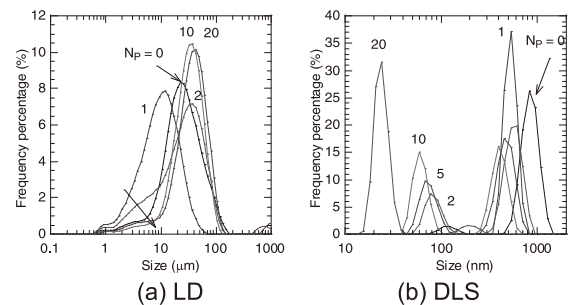


Fig.5 Size distributions of cellulose particles and fibers as a parameter of  $N_p$ .

### 3.まとめ

高压ジェットミルによるセルロース粉体の解纖処理は、最初に粒子を粉碎し、その後粉碎粒子の外からファイバー状に解纖され、中心に未粉碎セルロースが残る構造になっていた。その構造から、外径はレーザー回折法、ファイバー径は動的光散乱法で評価できることが確かめられた。これらの分析手法から、解纖したナノファイバーのマクロ的評価方法が可能になることを示した。今後、この手法を用いて複合材料に適したナノセルロースの開発を行う予定である。

キーワード:セルロース、解纖、高压ジェットミル、イオン液体

Preparation of nano-cellulose and analysis of micro structure using technique of ion liquid

Evaluation Engineering Section; Satoshi IWATSUBO, Hiroyuki TANBO

Nano-cellulose fibers using wet jet milling process were prepared from cellulose particles. After the process, specimens were dried, the morphology and micro structure of the particles were observed by Scanning Electron Microscope SEM using technique of ion liquid. The shape of wet particles analyzed by optical microscope OM. The cellulose particles were torn and were disintegrated to nanofibers. The macro structure was changed from particles to large particle with outside of networks of fibers and inside of cellulose solid in a diameter smaller than 5  $\mu\text{m}$ . The morphology was analyzed by laser diffraction analysis and dynamic light scattering. The measurement technique was useful to monitor the process to prepare nanofibers.